

УДК 550.383

## НЕКОТОРЫЕ СПЕКТРАЛЬНЫЕ СВОЙСТВА ЦИКЛОНИЧЕСКОЙ ТУРБУЛЕНТНОСТИ В ЖИДКОМ ЯДРЕ ЗЕМЛИ

© 2008 г. М. Ю. Решетняк

Институт физики Земли им. О.Ю. Шмидта РАН, Москва e-mail: reshetnyak@ifz.ru

Поступила в редакцию 14.06.2007 г.

После доработки 14.06.2007 г.

Быстрое суточное вращение планет приводит к появлению циклонической тепловой турбулентности в жидких ядрах, являющейся источником генерации наблюдаемых магнитных полей. В работе рассмотрена модель, позволяющая воспроизводить характерные черты мелкомасштабных геострофических течений в физическом и волновом пространствах. Приведены оценки потоков энергии и гидродинамической спиральности как функции волнового числа. Показано совместное существование прямых и обратных каскадов. Рассмотрены следствия для земного ядра и задач геодинamo.

PACS: 91.10.By, 91.35.Cb

### 1. ВВЕДЕНИЕ

В настоящее время существует достаточно оснований считать, что среда жидкого ядра Земли и других планет является хорошо перемешанной в силу интенсивной конвекции [Braginsky and Roberts, 1995]. Оценка числа Рейнольдса дает  $Re \sim 10^9$ , см. подробнее [Решетняк, 2006]. Оценка числа Рэлея для тепловой конвекции соответствует также высокой степени надкритичности тепловой конвекции  $Ra \sim 10^3 Ra^{cr}$  [Jones, 2000], где  $Ra^{cr}$  — критическое значение, при котором начинается конвекция. Оба приведенных факта свидетельствуют о существовании турбулентности в жидких ядрах планет. В силу быстрого вращения свойства турбулентности могут существенно отличаться от привычной колмогоровской турбулентности (случай совместного влияния быстрого вращения и сильного магнитного поля рассмотрен в работе [Braginsky and Meylis, 1991]). Существование выделенного направления, связанного с осью вращения планет, приводит к возникновению геострофического баланса: состояния, когда поля остаются трехмерными, перестают зависеть от координаты вдоль направления оси вращения [Pedlosky, 1987]. В каком-то смысле геострофические течения занимают промежуточное положение между двумерными и трехмерными течениями. Поскольку свойства двумерной турбулентности существенно отличаются от свойств трехмерной турбулентности, например, наличием законов сохранения [Rose and Sulem, 1978; Kraichnan, 1980], то изучение геострофических режимов является крайне интересным направлением исследований. Представляется также важным изучение обратных каскадов энергии, хорошо известных в двумерной и геострофической турбулентностях [Hossain, 1994; Smith and Waleffe, 1999].

Ниже мы рассмотрим модель тепловой конвекции в прямоугольном ящике, позволяющую воспроизводить циклоническую турбулентность и остановимся на свойствах потоков интегралов движения (энергии и гидродинамической спиральности) в волновом пространстве. Рассматриваемая модель близка по свойствам к геострофической турбулентности в жидких ядрах планет. Понимание механизмов потоков этих величин интересно как с чисто теоретической точки зрения, так и может быть использовано для создания полумпирических моделей турбулентности.

### 2. УРАВНЕНИЯ КОНВЕКЦИИ

Рассмотрим тепловую конвекцию несжимаемой жидкости  $\nabla \cdot \mathbf{V} = 0$  во вращающемся с угловой скоростью  $\Omega$  относительно вертикальной оси  $\mathbf{z}$  прямоугольном ящике. Введя следующие единицы измерения для скорости  $\mathbf{V}$ , времени  $t$ , и давления  $P$ :  $\kappa/L$ ,  $L^2/\kappa$  и  $\rho\kappa^2/L^2$ , где  $L$  — единица длины,  $\kappa$  — коэффициент молекулярной теплопроводности,  $\rho$  — плотность вещества, запишем систему уравнений динамо в Декартовой системе координат  $(x, y, z)$  в виде (см. для сферической геометрии [Jones, 2000]):

$$\begin{aligned} EPr^{-1} \left[ \frac{\partial \mathbf{V}}{\partial t} - \mathbf{V} \times (\nabla \times \mathbf{V}) \right] = \\ = -\nabla P - \mathbf{1z} \times \mathbf{V} + Ra T \mathbf{1z} + E \Delta \mathbf{V} \quad (1) \\ \frac{\partial T}{\partial t} + (\mathbf{V} \cdot \nabla)(T + T_0) = \Delta T. \end{aligned}$$

Безразмерные числа Прандтля, Экмана, Рэлея и Робертса вводятся как:  $Pr = \frac{\nu}{\kappa}$ ,  $E = \frac{\nu}{2\Omega L^2}$ , и  $Ra =$

$$= \frac{\alpha g_0 \delta T L}{2\Omega \kappa}, \text{ где } \nu - \text{ коэффициент кинематической}$$

вязкости,  $\alpha$  – коэффициент объемного расширения,  $g_0$  – ускорение свободного падения,  $\delta T$  – единица возмущения температуры  $T$  относительно “диффузионного” распределения температуры  $T_0 = 1 - z$ ,  $\eta$  – коэффициент магнитной диффузии. Число Россби введем как  $Ro = EPr^{-1}$ .

Для границ  $z = 0, 1$  принимаем нулевые возмущения температуры  $T = 0$ , что с учетом выбранного профиля  $T_0$ , эквивалентно заданию температур на границах:  $\tilde{T} = T + T_0 = 1, 0$  (подогрев снизу). Для поля скорости принимаем условие непроницаемости и равенство нулю градиентов тангенциальных компонент на  $z = 0, 1$ :  $V_z = \frac{\partial V_x}{\partial z} = \frac{\partial V_y}{\partial z} = 0$ .

Такая постановка граничных условий гарантирует равенство нулю тангенциальных компонент тензора вязких напряжений, а также нулевые значения гидродинамической спиральности.

Поскольку для нас далее будет важным исследование каскадных свойств турбулентности, мы оставим нелинейный член в уравнении Навье-Стокса, которым часто пренебрегают при рассмотрении полной задачи геодинамо [Jones and Roberts, 2000].

### 3. ЗАКОНЫ СОХРАНЕНИЯ

В силу наличия диссипации и соответственно, необратимости процессов, рассматриваемых в турбулентности, турбулентность не является в строгом смысле равновесной системой [Rose and Sulem, 1978; Kraichnan, 1980]. Тем не менее, часто в теории турбулентности рассматривают статистически равновесные состояния, когда среднее по времени от функции распределения вероятности системы не зависит от времени. Однако даже в этом случае, система являясь стационарной в физическом пространстве, может быть неравновесной в волновом пространстве. Последнее связано с тем, что масштабы, на которых осуществляются ввод и отбор энергии, могут быть разнесены в волновом пространстве. Так, в колмогоровской турбулентности энергия вводится на большом масштабе, а диссипация происходит на малых масштабах. Следовательно, может существовать направленный поток энергии (или другой величины) в волновом пространстве. В терминах разложения Фурье данное явление связано с взаимодействием разных гармоник, т.е. каскадным процессом. Потоки величин от больших масштабов к малым называют прямым каскадом, и наоборот – обратным. В волновом пространстве для скорости изменения энергии  $E$  гармоник на волновом векторе  $k = |\mathbf{k}|$  имеем:

$$\frac{\partial E(k)}{\partial t} = \mathcal{T}(k) + F(k) + D(k), \quad (2)$$

где  $k = |\mathbf{k}|$ ,  $\mathcal{T}(k)$  – поток энергии от гармоник с другими  $k$ ,  $F(k)$  – работа внешних сил,  $D(k)$  – диссипация.

Для изучения нелинейной системы, вообще говоря, важно рассмотрение всех нелинейных величин. Однако в силу большого числа нелинейных членов, обычно ограничиваются рассмотрением ряда инвариантов, имеющих простую физическую интерпретацию. Для уравнения Навье-Стокса, в первую очередь, это кинетическая энергия  $E_K = \mathbf{V}^2/2$ . Далее, в зависимости от размерности рассматриваемого пространства, рассматривают энстрофию  $\Omega = \omega^2$  для двумерия ( $\omega = \nabla \times \mathbf{V}$  – завихренность поля скорости) и гидродинамическую спиральность  $\mathcal{H}^{\mathcal{H}} = \mathbf{V} \cdot \omega$  – для трехмерия. Интерес к гидродинамической спиральности также вызван тесной связью  $\mathcal{H}^{\mathcal{H}}$  с  $\alpha$ -эффектом, связанным с генерацией среднего магнитного поля турбулентностью в теории динамо [Krause and Rädler, 1980]. Ниже мы рассмотрим уравнения для  $E_K$  и  $\mathcal{H}^{\mathcal{H}}$  более подробно.

Уравнение кинетической энергии получается умножением уравнения Навье-Стокса скалярно на  $\mathbf{V}$ . Применяя осреднение по объему и учитывая периодичность решения, имеем:

$$2^{-1} EPr^{-1} \left[ \frac{\partial \langle \mathbf{V} \rangle^2}{\partial t} + \langle (\mathbf{V} \cdot \nabla) \mathbf{V}^2 \rangle \right] = \text{Ra} \langle TV_z \rangle - E \langle (\nabla \omega)^2 \rangle, \quad (3)$$

где

$$\langle f(\mathbf{r}) \rangle = \mathcal{V}^{-1} \int_{\mathcal{V}} f(\mathbf{r}) d\mathbf{r}^3 \quad (4)$$

означает осреднение поля  $f$  по объему  $\mathcal{V}$ . В силу дивергентности второго члена в левой части уравнения (4) для периодических граничных условий он равен нулю. Однако как уже отмечалось выше, энергия может перераспределяться между масштабами. Для оценки перераспределения энергии в волновом пространстве мы представим поля в виде суммы низкочастотной и высокочастотной компонент  $f(\mathbf{r}) = f^<(\mathbf{r}) + f^>(\mathbf{r})$  [Обухов, 1941], где

$$f^<(\mathbf{r}) = \sum_{|k| \leq K} \hat{f}_k e^{i\mathbf{k}\mathbf{r}}, \quad f^>(\mathbf{r}) = \sum_{|k| > K} \hat{f}_k e^{i\mathbf{k}\mathbf{r}}, \quad (5)$$

соответственно. Для периодических полей  $f$  и  $g$  имеем (см. подробнее [Frisch, 1995]):

$$\left\langle \frac{\partial f}{\partial x} \right\rangle = 0, \quad \left\langle g \frac{\partial f}{\partial x} \right\rangle = - \left\langle f \frac{\partial g}{\partial x} \right\rangle, \quad \langle f^> g^< \rangle = 0. \quad (6)$$

Так же удобно ввести оператор  $P_K$ , проецирующий поле на его подмножество:  $f(\mathbf{r}) \rightarrow f^<(\mathbf{r})$ ,  $P_K^2 = P_K$ . Тогда для ответа на вопрос о том, как изменилась кинетическая энергия для подсистемы  $E_K^< = (V^<)^2/2$  следует записать уравнение для  $E_K^<$ . Последнее можно сделать, применив к уравнению Навье-Стокса оператор  $P_K$ , и далее, умножив на  $V^<$ . После ряда преобразований имеем:

$$2^{-1} EPr^{-1} \left[ \frac{\partial \langle V_i^< V_i^< \rangle}{\partial t} + \langle V_i^< \cdot (V_j \cdot \nabla_j) V_i^> \right] = \text{Ra} \langle T^< V_z^< \rangle - E \langle (\nabla \omega^<)^2 \rangle. \quad (7)$$

Второй член  $\Pi(K)$  (интегральный поток) в левой части (7) равен энергии, переданной высокочастотной части системы. Величины  $\Pi$  и  $\mathcal{T}$  (локальный поток) связаны соотношением [Frisch, 1995]:

$$\mathcal{T}(k) = -\frac{\partial \Pi}{\partial k}, \quad \int_{k=0}^{\infty} \mathcal{T}(k) dk = 0. \quad (8)$$

Аналогично имеем для квадрата флуктуации температуры:

$$2^{-1} \frac{\partial \langle (T^<)^2 \rangle}{\partial t} = - \langle T^< V_j \cdot \nabla_j T^> \rangle + \langle T^< V_z^< \rangle - \langle (\nabla T^<)^2 \rangle. \quad (9)$$

Здесь поток в волновом пространстве соответствует первому члену в правой части (9). Второй член является источником энергии и также учитывает нелинейные взаимодействия.

Для вывода уравнения спиральности  $\mathcal{H}^{\mathcal{H}}$  умножим уравнения Навье-Стокса скалярно на  $\omega$ . Далее применим оператор  $\text{rot}$  к уравнению движения, умножим скалярно на  $\mathbf{V}$  и сложим с первым уравнением:

$$EPr^{-1} \left[ \frac{\partial \mathcal{H}^{\mathcal{H}}}{\partial t} + (\mathbf{V} \cdot \nabla) \mathcal{H}^{\mathcal{H}} \right] = -\nabla \cdot \left[ \left( P - \frac{1}{2} \mathbf{V} \right) \omega \right] + \frac{1}{2} \frac{\partial}{\partial z} \mathbf{V}^2 + [\omega \times \mathbf{V}]_z + \text{Ra} [\nabla \times (T\mathbf{V})]_z - 2E \frac{\partial V_i \partial \omega_i}{\partial x_j \partial x_j}. \quad (10)$$

Обратим внимание, что скорость изменения спиральности зависит от векторного произведения скорости и завихренности, т.е. если предположить, что произведение  $|\mathbf{V}||\omega|$  не завит от времени, то возможно появление колебаний спиральности во времени за счет изменения угла между векторами  $\beta = \widehat{V, \omega}$ :

$$\dot{\beta} = -\cos \gamma, \quad \gamma = \widehat{\mathbf{p}, \mathbf{z}}, \quad \mathbf{p} = \omega \times \mathbf{V}. \quad (11)$$

Условие реализации крупномасштабной спиральности сводится к неравному нулю среднему по времени:  $\langle \dots \rangle_t \neq 0$ , т.е.  $\gamma = \pi/2$ . Последнего легко добиться, потребовав  $\omega_z \gg \omega_x, \omega_y$ , что реализуется в циклонической турбулентности.

Возвращаясь к выводу осредненного уравнения для спиральности  $\mathcal{H}^{\mathcal{H}^<} = \mathbf{V}^< \cdot \omega^<$  имеем:

$$EPr^{-1} \left\langle \frac{\partial \mathcal{H}^{\mathcal{H}^<}}{\partial t} \right\rangle = \Pi + \langle [(\nabla \times \mathbf{V}^<) \times \mathbf{V}^<]_z \rangle - 2E \left\langle \frac{\partial V_i^< \partial \omega_i^<}{\partial x_j \partial x_j} \right\rangle, \quad (12)$$

где интегральный поток спиральности  $\mathcal{H}^{\mathcal{H}^<}$  в волновом пространстве имеет вид:

$$\Pi = \langle \omega_i^< V_j \nabla_j V_i^> \rangle + \langle V_i^< V_j \nabla_j \omega_i^> \rangle - \langle V_i^< \omega_i^< \nabla_j V_j^> \rangle. \quad (13)$$

#### 4. ЧИСЛЕННЫЕ МЕТОДЫ

Для численного решения системы уравнений (1) использовался псевдо-спектральный метод (см. [Orszag, 1971; Canuto et al., 1988; Cattaneo et al., 2003], а также [Решетняк, 2007], где рассмотрены методы параллелизации). Далее мы лишь кратко остановимся на представлении основных уравнений в волновом пространстве.

##### 4.1. Псевдо-спектральный метод

В волновом пространстве система уравнений (1) может быть записана в виде [Buffett, 2003]:

$$E \left[ Pr^{-1} \frac{\partial \mathbf{V}}{\partial t} + k^2 \mathbf{V} \right]_{\mathbf{k}} = \mathbf{k} \mathcal{P}_{\mathbf{k}} + \mathbf{F}_{\mathbf{k}} \quad (14)$$

$$\left[ \frac{\partial T}{\partial t} + k^2 T \right]_{\mathbf{k}} = -[(\mathbf{V} \cdot \nabla)(T + T_0)]_{\mathbf{k}},$$

где

$$\mathcal{P}_{\mathbf{k}} = -\frac{\mathbf{k} \cdot \mathbf{F}_{\mathbf{k}}}{k^2}, \quad k^2 = k_{\beta} k_{\beta}, \quad \beta = 1 \dots 3, \quad (15)$$

$$\mathbf{F}_{\mathbf{k}} = [EPr^{-1} \mathbf{V} \times (\nabla \times \mathbf{V}) + \text{Ra} T - \mathbf{1z} \times \mathbf{V}]_{\mathbf{k}},$$

а  $T$  и  $\mathbf{V}$  – трехмерные образы Фурье исходных физических полей,  $\mathbf{k}$  – волновой вектор.

Практически численное решение сводится к интегрированию уравнений (14–15) по времени по схеме 2-го порядка Адамса-Башфора для всех членов кроме диффузионного. Для вычисления же диссипативных членов использован известный “аналитический” прием [Canuto et al., 1988; Cattaneo et al., 2003]. При вычислении нелинейных членов осуществляется переход в физическое пространство с помощью быстрого преобразования Фурье, где поля и их производные перемно-

жаются и далее, используя обратное преобразование Фурье, делается переход в исходное волновое пространство.

Пусть в физическом пространстве поле  $f$  задано на сетке  $G = (1 \dots N_x, 1 \dots N_y, 1 \dots N_z)$ . Тогда физическое и волновое представление в ящике высотой 1 и квадратным основанием длиной  $\lambda$  связаны соотношением

$$f(x, y, z) = \sum_{n_x = -N_x/2}^{N_x/2} \sum_{n_y = -N_y/2}^{N_y/2} \sum_{n_z = -N_z/2}^{N_z/2} \hat{f}(n_x, n_y, n_z) \times e^{i(k_x x + k_y y)} \phi(k_z z), \quad (16)$$

где

$$k_x = \frac{2\pi n_x}{\lambda}, \quad k_y = \frac{2\pi n_y}{\lambda}, \quad k_z = \frac{2\pi n_z}{\lambda} \quad (17)$$

и  $\phi = \sin$  или  $\cos$  (или их комбинации) в зависимости от вида граничных условий. Далее для удобства мы опускаем символ  $\hat{\phantom{f}}$ . В качестве дополнительных граничных условий в  $k$ -пространстве мы полагаем  $T, \mathbf{V}, \mathbf{B} = 0$  для  $\mathbf{k} = 0$ .

Вычисления проводились на сетках  $N^3$ ,  $N = 64$ . Для избежания ошибок при вычислении нелинейных членов в высокочастотной области использовалось правило 3/2 [Canuto et al., 1988] (aliasing rule).

## 5. РЕЗУЛЬТАТЫ МОДЕЛИРОВАНИЯ

Тепловая конвекция с вращением характеризуется появлением большого числа вертикальных вращающихся колонок (циклонов-антициклонов). Их число зависит от числа Экмана как  $k_c \sim E^{-1/3}$  [Chandrasekhar, 1961]. Для жидкого ядра Земли  $E \sim 10^{-15}$ , что очевидно не позволяет проводить вычисления при реалистичных значениях параметра. Обычно, удается добиться режимов с  $E = 10^{-4} - 10^{-6}$  [Jones, 2000]. Вторым важным параметром является число Рэлея, характеризующее интенсивность тепловой конвекции. Критическое число Рэлея при котором начинается конвекция зависит от числа Экмана как  $Ra^{cr} \sim E^{-1/3}$ . Увеличение порогового значения связано с появлением мелкомасштабной конвекции, приводящей к повышенной диссипации. Далее мы рассмотрим три режима конвекции:

[NR:] Режим без вращения,  $Ra = 9 \times 10^5$ ,  $Pr = 1$ ,  $E = 1$ ,  $Re \sim 700$ .

[R1:] Режим с вращением,  $Ra = 4 \times 10^2$ ,  $Pr = 1$ ,  $E = 2 \times 10^{-5}$ ,  $Re \sim 200$ .

[R2:] Режим с вращением,  $Ra = 1 \times 10^3$ ,  $Pr = 1$ ,  $E = 2 \times 10^{-5}$ ,  $Re \sim 10^4$ .

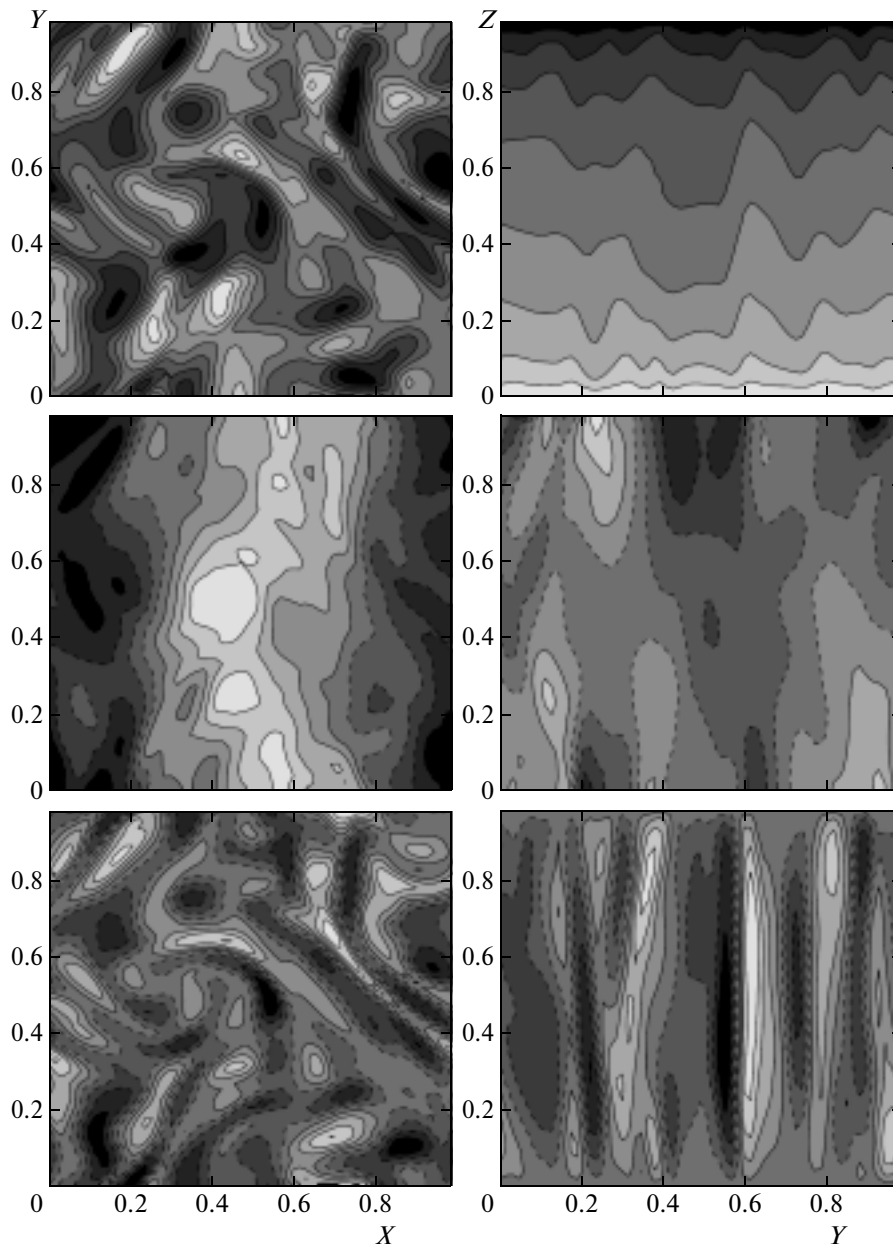
Режим R1 соответствует геострофическому состоянию конвекции вблизи порога генерации, характеризуемого регулярной пространственной

структурой циклонов. Увеличение Ra (режим R2) приводит к нарушению упорядоченности циклонов, появлению мелкомасштабных течений, отклонению от геострофии. Нелинейный член становится сравнимым с силой Кориолиса и градиентом давления, временное поведение становится более хаотическим. На рис. 1 приведено характерное распределение полей в горизонтальном и вертикальном сечениях для режима R2, также обладающего высокой степенью геострофии. Хорошо заметна корреляция  $T$  и  $V_z$ .

Циклоническая конвекция генерирует крупномасштабную спиральность. Знак спиральности определяется сходимостью или расходимостью возникающих плюмов. Пусть для определенности мы имеем дело с восходящим потоком. Тогда в силу закона сохранения момента импульса в нижней области восходящего плюма  $\mathcal{H}^{\mathcal{H}}$  будет положительна, а в верхней — отрицательна, см. рис. 2 (режим R2). Для нисходящего потока знак спиральности тот же. В силу используемых граничных условий для  $\mathbf{V}$  спиральность равна нулю на границах. При увеличении чисел Рейнольдса Re максимум генерации спиральности будет приближаться к границе. Как следует из уравнения (10), спиральность разного знака переносится конвекцией в основной объем от границ. В этом случае зависимость спиральности становится линейной в основном объеме и меняет знак при  $z = 0.5$ .

Рассмотрим спектры кинетической энергии, рис. 3. Спектр без вращения NR близок к колмогоровскому. Режим с вращением R1 близок к пороговому. На интегральном спектре (верхний рисунок) хорошо виден пик  $k_c \sim 8$ , соответствующий циклоническим течениям. В силу Кюпперс-Лортцевской неустойчивости [Küppers, Lortz, 1969; Jones and Roberts, 2000] горизонтальные конвективные валы, возникающие при больших значениях  $E$ , быстро разрушаются. Отметим, что для режима R1 спектры кинетической энергии  $E_K(k_{\perp})$  и  $E_K(k_{\parallel})$  сильно различаются. Поперечный спектр для  $k < k_c$  близок к белому, а  $E_K(k_{\parallel}) \sim k^{-3}$ .

При увеличении Ra (режим R2) провал в спектре начинает заполняться и интегральный спектр становится похожим на спектр без вращения. Обратим внимание, что в горизонтальной части спектра появляются моды, с энергией большей, чем на масштабе лидирующей моды  $1/k_c$ . Заполнение спектра для вертикальной части спектра происходит более плавно и быстро приближается к колмогоровской зависимости. Заполнение спектра также наблюдается в задачах со сферической геометрией см. [Решетняк, 2006] и в каскадных моделях турбулентности [Reshetnyak and Steffen, 2006]. Обратим внимание на быстрое спадание спектра в области  $k > k_c$  как  $\sim k^{-n}$ ,  $n = 7-8$ , близкое к наблюдаемому в [Métais et al., 1996].



**Рис. 1.** Тепловая конвекция с вращением для  $Pr = 1$ ,  $Ra = 1.3 \times 10^3$ ,  $E = 2 \times 10^{-5}$ . Сечения полей  $T$  – верхний ряд (0, 1, 0.43, 0.60),  $V_y$  – компонента скорости (средний ряд) (-745, 548, -904, 979) и  $V_z$  – компонента скорости (нижний ряд) (-510, 501, -651, 784). Левая колонка соответствует сечению плоскостью  $z = 0.5$ , правая колонка – плоскостью  $x = 0$ . Значения в скобках означают диапазон значений, пунктирные изолинии соответствуют отрицательным значениям полей.

Рассмотрим спектр спиральности  $S^H = |\mathbf{V} \cdot \omega^*|$ , где  $\omega^*$  – знак комплексного сопряжения. Для  $R1$   $S^H = 0$ , что соответствует условию  $V_x/V_x^* = V_y/V_y^* = V_z/V_z^* = \text{const}$ . Как и для спектров кинетической энергии основное различие для режимов  $NR$  и  $R2$  наблюдается для тангенциальных компонент спектра, см. рис. 4. Продольные части спектра близки для обоих режимов. Для спектра спиральности максимум, связанный с положением лиди-

рующей моды  $k_c$  для режима  $R2$ , более ярко выражен, чем в спектре энергий рис. 3.

Однако наблюдаемое сходство в поведении спектров  $R2$  и  $NR$  еще не свидетельствует о сходстве физических процессов. Напомним, что в двумерной турбулентности [Kraichnan and Montgomery, 1980] также наблюдается спектр кинетической энергии  $\sim k^{-5/3}$ , но передача энергии происходит не от больших масштабов к меньшим, а наоборот. Оценка для отношения конвективного члена в

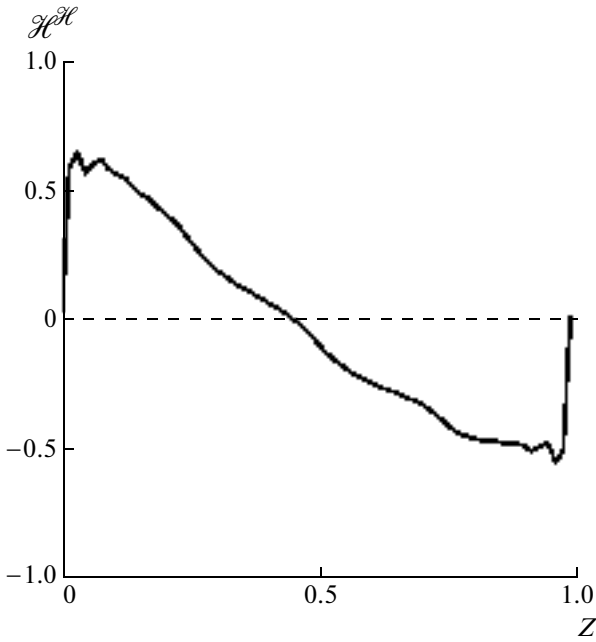


Рис. 2. Профиль гидродинамической спиральности  $\mathcal{H}^{\mathcal{H}}(z)$  для  $R2$ , нормированной на среднее значение кинетической энергии.

уравнении Навье-Стокса к силе Кориолиса на основном масштабе  $\mathcal{R} = EPr^{-1}Re$ ,  $Pe = \sqrt{2E_K}$  – число Пекле и  $Re = RePr^{-1}$  – гидродинамическое число Рейнольдса, дает  $\mathcal{R} = 0.004$  для  $R1$  и  $\mathcal{R} = 0.02$  для  $R2$ , что соответствует геострофическому балансу, т.е.  $\mathcal{R} \ll 1$ . Для режима же  $NR$   $\mathcal{R} \sim 600$ .

Рассмотрим что происходит с потоками энергии в волновом пространстве. Режим  $NR$  демонстрирует хорошо известную картину колмогоровского прямого каскада кинетической энергии рис. 5. Для больших масштабов  $\mathcal{T}^< < 0$  – эти масштабы являются источниками энергии. По мере перехода в инфракрасную часть спектра знак потока меняется на положительный – энергия потребляется. Для двумерной турбулентности наблюдается зеркальносимметричная картина для потока [Kraichnan and Montgomery, 1980]. В этом случае вместо прямого каскада энергии наблюдается обратный каскад.

Вращение существенно меняет поведение потоков энергии. Энергонесущим волновым числом является  $k_c$ . Для  $k > k_c$  мы также наблюдаем прямой каскад энергии  $\mathcal{T}^< > 0$ . Максимум  $\mathcal{T}^<$  смещен относительно максимума спектра вправо тем больше, чем больше  $Re$ . Для  $k < k_c$  картина существенно сложнее: для небольших волновых чисел наблюдается обратный каскад энергии  $\mathcal{T}^< > 0$ . В тоже время в большей части области волновых чисел ( $0 \dots k_c$ ) каскад по прежнему прямой,  $\mathcal{T}^< < 0$ . Увеличение  $Re$  приводит к сужению области с обратным каскадом и повышению амплитуды об-

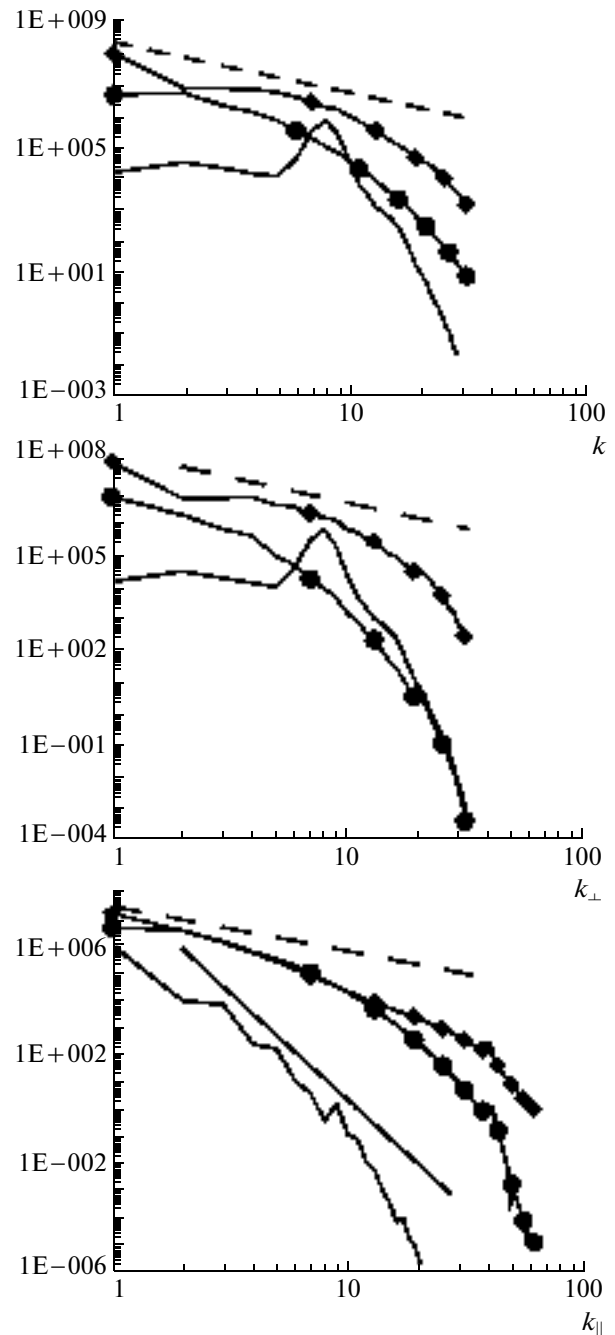


Рис. 3. Спектры кинетической энергии для режимов  $NR$  (кружочки),  $R1$ ,  $R2$  (ромбики). Штриховая линия соответствует спектру Колмогорова  $\sim k^{-5/3}$ ; сплошная линия на нижнем рисунке –  $\sim k^{-3}$ . На верхнем рисунке представлены зависимости от модуля волнового числа  $k = |\mathbf{k}|$ , на среднем спектры кинетической энергии в зависимости от горизонтального волнового числа  $k_{\perp}$  и на нижнем зависимости от продольного волнового числа  $k_{\parallel} \equiv k_z$ .

ратного потока. Можно предположить, что смена знака потока  $\mathcal{T}^<$  в области  $k < k_c$  связана с появлением нелокального переноса энергии: на большие масштабы  $\mathbf{k}_1$  энергия поступает от мод  $|\mathbf{k}_2| \sim$

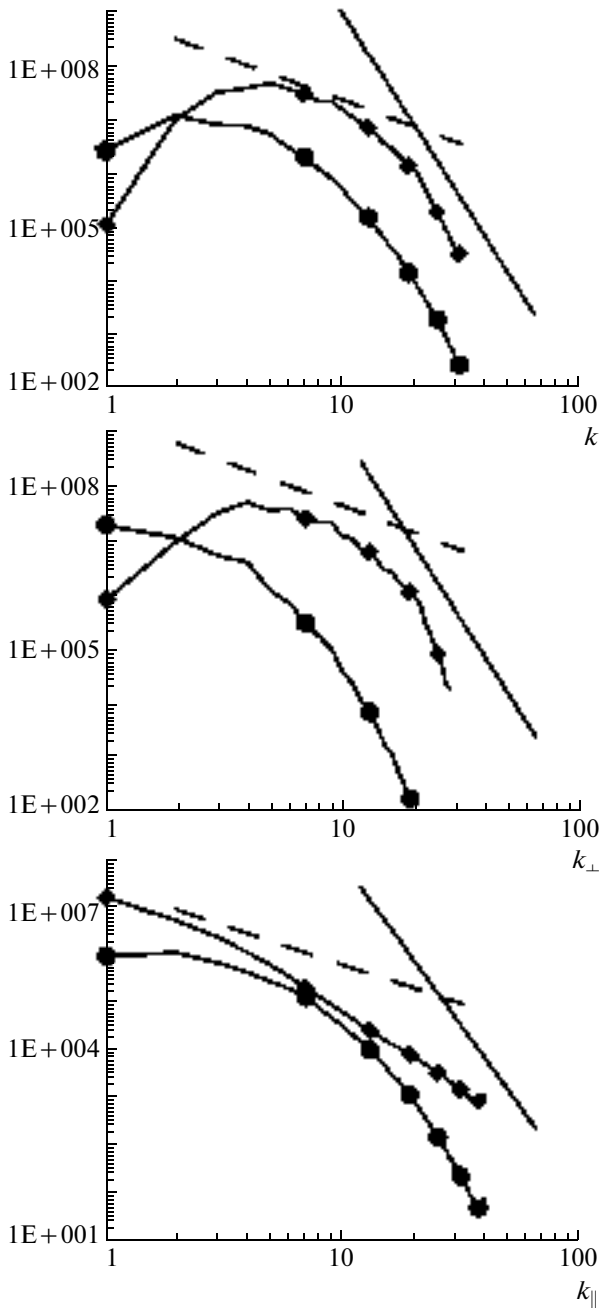


Рис. 4. Спектры гидродинамической спиральности для режимов *NR* (кружочки), *R1* (ромбики). Штриховая и сплошная линии соответствуют  $\sim k^{-5/3}$ ,  $k^{-7}$ .

$\sim |\mathbf{k}_3| \gg |\mathbf{k}_1|$ ,  $\mathbf{k}_1 = \mathbf{k}_2 + \mathbf{k}_3$ , см. подробнее в [Waleffe, 1992].

Распределение потоков гидродинамической спиральности в волновом пространстве повторяет поведение потоков кинетической энергии. Этим трехмерная турбулентность существенно отличается от поведения двумерной турбулентности, в которой направление потока кинетической энергии и второго инварианта (энстрофии) имеют разное направление относительно точки

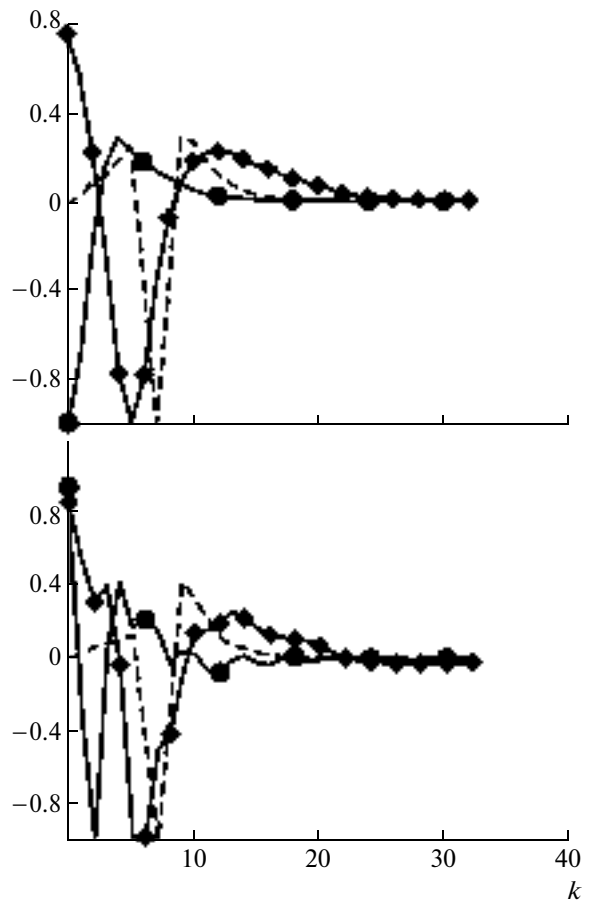


Рис. 5. Потоки  $\mathcal{T}$  кинетической энергии (верхний рисунок) и гидродинамической спиральности  $\mathcal{H}^{\mathcal{H}}$  (нижний рисунок) в волновом пространстве: *NR* (кружочки), *R1* (пунктир), *R2* (ромбики).

впрыска энергии, энстрофии. Обратим внимание, что энстрофия, как и кинетическая энергия, является положительно определенной величиной, в то время как спиральность — знакопеременна.

## 6. ОБСУЖДЕНИЕ И ВЫВОДЫ

С геофизической точки зрения интерес к достаточно простой геометрии течений, рассмотренных выше, вызван двумя обстоятельствами: во-первых, циклоническая турбулентность наблюдаемая в задачах со сферической геометрией близка по свойствам к результатам нашего моделирования. Поскольку нас интересуют режимы с большими  $Re$ , то мы надеемся, что многие основные черты решения уже не зависят от вида граничных условий и геометрии. В тоже время, моделирование режимов с малыми  $E$  в нашем случае намного проще. С другой стороны, как показывает опыт моделирования с магнитным полем, форма течений, во всяком случае визуально, мало ме-

няется при переходе к полной задаче динамо [Jones, 2000], хотя возможно некоторое изменение отношения полоидальной и тороидальной компонент кинетической энергии [Решетняк, 2007].

Выше нам удалось показать, что наблюдаемое сходство спектров кинетической энергии в случае без вращения и с вращением еще не является основанием для вывода о сходстве процессов. В случае с вращением показано существование диапазона волновых чисел, в котором энергия передается от больших  $k$  к малым. Существование такой возможности в жидком ядре Земли было рассмотрено в [Решетняк, 2005]. Интересно, что решение задачи на собственные значения в конвекции Буссинеска в виде  $\exp(i(\gamma t + k_x x + k_y y + k_z z))$  давало, что  $Re\gamma > 0$  возможно при  $k_x \sim k_y > 10^2$ ,  $k_z \sim 1$ , т.е. объяснить существование крупномасштабной конвекции можно было предположив как возникновение обратного каскада кинетической энергии, так и за счет передачи энергии на большие масштабы в процессе генерации крупномасштабного магнитного поля, например, в рамках теории динамо средних полей [Krause and Rädler, 1980]. Последний сценарий является экстремальным, так как может привести к полному исчезновению магнитного поля [Решетняк, 2005]. В этой связи моделирование обратного каскада энергии в чисто гидродинамической задаче без магнитного поля является весьма интересным результатом.

Работа была выполнена при поддержке Российского фонда фундаментальных исследований (грант № 03-05-64074).

#### СПИСОК ЛИТЕРАТУРЫ

- Обухов А.М. О распределении энергии в спектре турбулентного потока // Изв. АН СССР (География и Геофизика). 1941. Т. 5. № 4–5. С. 453–466.
- Решетняк М.Ю. Динамо-катастрофа, или почему магнитное поле Земли живет так долго? // Геомагнетизм и аэрономия. 2005. Т. 45. № 5. С. 538–548.
- Решетняк М.Ю. Гидромагнитная спиральность в моделях геодинамо Буссинесковского типа // Физика Земли. 2006. № 6. С. 3–13.
- Решетняк М.Ю. Тепловая конвекция и динамо при быстром вращении // Физика Земли. 2007. № 8. С. 23–32.
- Braginsky S.I., Meytlis V.P. Local turbulence in the Earth's core // Geophys. Astrophys. Fluid Dynam. 1991. V. A55. P. 71–87.
- Braginsky S.I., Roberts P.H. Equations governing convection in Earth's core and the geodynamo // Geophys. Astrophys. Fluid Dynamics. 1995. V. 79. P. 1–97.
- Buffett B. A comparison of subgrid-scale models for large-eddy simulations of convection in the Earth's core // Geophys. J. Int. 2003. V. 153. P. 753–765.
- Canuto C., Hussaini M.Y., Quarteroni A., Zang T.A. Spectral methods in Fluids Dynamics. N.Y.: Springer-Verlag, 1988.
- Cattaneo F., Emonet T., Weis N. On the interaction between convection and magnetic fields // ApJ. 2003. V. 588. P. 1183–1198.
- Chandrasekhar S. Hydrodynamics and hydromagnetic stability. N.Y.: Dover Publications. Inc., 1961.
- Frisch U. Turbulence: the Legacy of A.N. Kolmogorov. Cambridge: Cambridge University Press, 1995.
- Hossain M. Reduction of dimensionality of turbulence due to a strong rotation // Phys. Fluids. 1994. V. 6. № 3. P. 1077–1080.
- Jones C.A. Convection-driven geodynamo models // Phil. Trans. R. Soc. London. 2000. V. A358. P. 873–897.
- Jones C.A., Roberts P.H. Convection Driven Dynamos in a Rotating Plane Layer // J. Fluid Mechanics. 2000. V. 404. P. 311–343.
- Kraichnan R.H., Montgomery D. Two-dimensional turbulence // Rep. Prog. Phys. 1980. V. 43. P. 547–619.
- Krause F., Rädler K.-H. Mean field magnetohydrodynamics and dynamo theory. Berlin: Akademie-Verlag 1980.
- Küppers G., Lortz D. Transition from laminar convection to thermal turbulence in a rotating fluid layer // J. Fluid Mechanics. 1969. V. 35. P. 609–620.
- Métais O., Bartello P., Garnier E., Riley J.J., Lesieur M. Inverse cascade in stably stratified rotating turbulence // Dynamics of Atmospheres and Oceans. 1996. V. 23. P. 193–203.
- Orszag S.A. Numerical simulation of incompressible flows within simple boundaries. I. Galerkin (spectral) representations // Stud. Appl. Math. V.1. 1971. № 51. P. 293–327.
- Pedlosky J. Geophysical Fluid Dynamics. N.Y.: Springer-Verlag, 1987.
- Rose H.A., Sulem P.I. Fully developed turbulence and statistical mechanics // J. Physique. 1978. V. 39. P. 441–484.
- Reshetnyak M., Steffen B. Shell models in rapidly rotating dynamo systems // Numerical Methods and Programming. V. 7. P. 85–92. 2006. <http://www.srcc.msu.su/nummeth/english/index.html>
- Smith L.M., Waleffe F. Transfer of energy to two-dimensional large scales in forced, rotating three-dimensional turbulence // Phys. Fluids. 1999. V. 11. № 6. P. 1608–1622.
- Waleffe F. The nature of triad interactions in homogeneous turbulence // Phys. Fluids. V. A4. № 2. 1992. P. 350–363.